

石人沟林场旧石器地点试掘报告

陈全家¹, 赵海龙², 方 启¹, 贺存定^{1,3}

(1. 吉林大学边疆考古研究中心, 长春 130012; 2. 吉林省文物考古研究所, 长春 130033;

3. 重庆中国三峡博物馆三峡古人类研究所, 重庆 400015)

摘要: 2007 年 8 月, 对吉林延边和龙石人沟旧石器遗址周边进行考古调查时, 在石人沟林场东北的红旗河第 2 级阶地发现了该地点, 并进行了试掘, 面积为 69m²。共获 116 件石制品, 其中出土 86 件, 采集 30 件。石制品包括石核、石片、细石叶、工具、断块及废片。根据地层堆积、石制品特征组合及与周边旧石器遗址对比分析, 推测该遗址的地质年代为晚更新世晚期。

关键词: 林场; 石制品; 黑曜岩; 旧石器时代晚期

中图法分类号: K871.11 文献标识码: A 文章编号: 1000-3193 (2010) 04-373-10

2007 年 8 月, 吉林大学边疆考古研究中心和吉林省文物考古研究所在延边和龙石人沟遗址周边联合进行考古调查时, 在石人沟林场东北的红旗河第 2 级阶地发现了林场地点, 采集石制品 30 件, 随后分两个区域进行试掘, 面积为 69m², 出土 86 件石制品。本文是对 116 件石制品的初步研究。

1 地理位置、地貌地层及遗物出土情况

1.1 地理位置

和龙林场旧石器地点位于吉林省延边地区和龙石人沟林场东北约 300m 的河流阶地上。其地理坐标为 42°10'59.5"N, 128°50'56.0"E。东北距和龙市约 4km, 东南距中朝边境图们江约 1km(图 1)。

1.2 地质地貌

吉林省东部是构造抬升的长白山区, 植被茂盛。长白山地属新华夏系隆起带, 普遍存在夷平面和发育的多级河流阶地。林场遗址地处长白山山系的南岗山山脉, 坐落于高出水面约 16m 的第 2 级阶地上, 背靠高山, 面向图们江的第二大支流红旗河, 海拔 692m, 距红旗河约 20m(图 2)。

1.3 地层

该区域火山沉积相当活跃, 冰碛、黄土与火山沉积物交互叠置^[1]。该地点地层堆积依 A 区南壁剖面自上而下分为 9 层。

收稿日期: 2008-11-04; 定稿日期: 2010-07-14

基金项目: 教育部人文社会科学重点研究基地重大项目(2006JJD80003); 吉林大学“985 工程”项目。

作者简介: 陈全家(1954-), 男, 籍贯山东, 吉林大学边疆考古研究中心教授, 主要从事旧石器时代考古学和动物考古学研究。

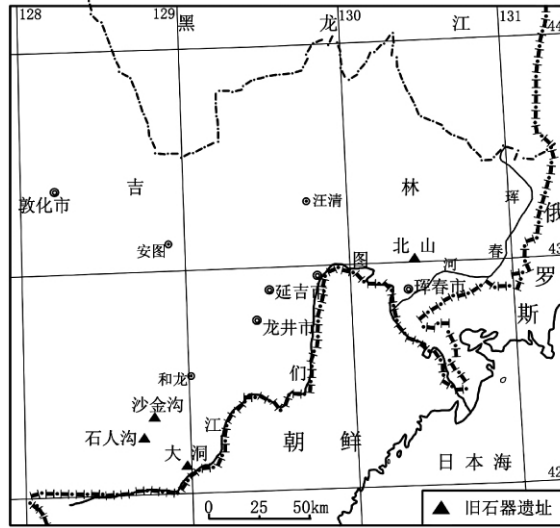


图 1 和龙林场旧石器地点位置图

Fig. 1 Geographical position of the Linchang Paleolithic locality in Helong

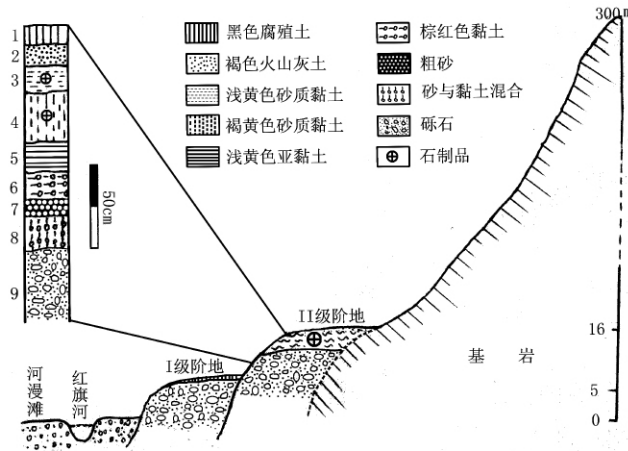


图 2 和龙林场旧石器地点地层剖面示意图

Fig. 2 The section of the Linchang Paleolithic locality in Helong

1. 黑色的腐殖土,质地疏松,夹有植物的根茎。厚 10—30cm。
2. 褐色火山灰土,夹砂,非常疏松。厚 18—32cm。
3. 浅黄色砂质黏土,较硬,部分探方缺失该层,含石制品。厚 0—45cm。
4. 褐黄色的砂质黏土,较疏松,夹有未磨圆的小石粒,含少量石制品。厚 20—95cm。
5. 浅黄色的亚黏土,土质较紧密,未见石制品。厚 0—57cm。
6. 棕红色的黏土,较致密,未见石制品。厚 0—38cm。
7. 粗沙层,质地松散,未见石制品。厚 0—13cm。
8. 砂与黏土互层,较疏松,未见石制品。厚 9—55cm。
9. 砾石层,出露花岗岩砾石层,未见石制品。未见底,厚 170—195cm。

该地点第 1 层为现代耕土层,第 2 层为火山喷发形成的粉尘堆积,第 3 和 4 层为古代人类活动形成的文化层,石制品主要出于这两层中,第 5 和 6 层为风成堆积,第 7 和 8 层为河漫滩堆积,第 9 层为古河床堆积。

1.4 遗物出土情况

本次发掘分为 A、B 两个区,从平面看,石制品分布较零散,往南(临河)分布稍密集,可以推测古人在靠近河滩处打制石器活动较频繁。从剖面看,石制品分布有较明显的集中分布层(图 3),可以看出石制品应是一个特定时期内形成,推测为古人类临时性活动场所。

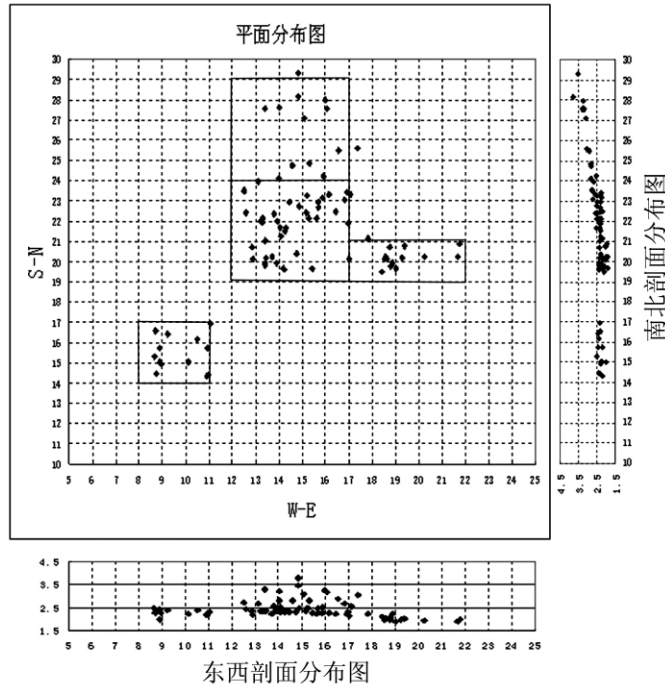


图 3 林场地点发掘区内石制品分布图

Fig. 3 Distribution of stone artifacts in the Linchang Locality

2 石制品分类

此次调查及发掘共获石制品 116 件。石制品类型较为简单,包括石核、石片、细石叶、工具、断块及废片等,其中以废片($n = 31$)和断片($n = 29$)数量最多,分别占石制品总数的 26.72%、25.0%;其次是断块($n = 2$)和完整石片($n = 14$),分别占 17.24%、12.08%。第 3 类工具和细石叶也占一定比重,为 6.88% 和 6.91%。第 2 类工具较少,占 4.31%。石核仅 1 件,占 0.86%。石制品组合基本为微型和小型,个别中型,不见大型和巨型^[3](表 1)。

石制品原料较为单一,黑曜岩占绝对优势,占 97.42%;另外,仅 2 件板岩断片和 1 件凝灰岩断块,分别占 1.72% 和 0.86%。部分黑曜岩石制品为地表采集,表面有不同程度风化,无光泽。发掘品则棱脊清晰,少有磨蚀,保持其黑亮光泽。

表 1 石人沟林场地点的石制品大小分类统计表

Table 1 Typological calculation in size of stone artifacts from the Linchang locality

尺寸大小→ 石制品类型↓	□20mm		20—50mm		50—100mm		□100mm	
	N	%	N	%	N	%	N	%
石核	0	0	1	0.86	0	0	0	0
完整石片	10	8.62	4	3.44	0	0	0	0
细石叶	8	6.91	0	0	0	0	0	0
断片	22	18.96	5	4.31	2	1.72	0	0
断块	10	8.62	10	8.62	0	0	0	
废片	31	26.72	0	0	0	0	0	0
第 2 类工具	0	0	5	4.31	0	0	0	0
第 3 类工具	1	0.86	6	5.16	1	0.86	0	0

2.1 石核

仅 1 件 ,07. LC. C:1 ,为初级阶段的细石叶石核 ,剥片较少。整体形状呈楔形 ,长 42.95mm ,宽 18.31mm ,高 35.28mm ,重 20.84g。此石核有两个剥片面 ,彼此互为台面进行剥片 ,相交夹角约 60° ,石核底缘也有修整 ,修疤连续 ,形成薄锐的底缘。剥片面右侧棱也略有修整 ,成功剥片不多 ,个别石叶窄而狭长 ,最大长 39.5mm ,最大宽 6.4mm (图 4)。

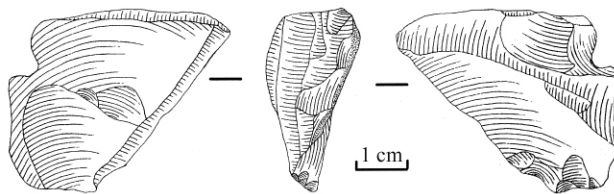


图 4 石人沟林场地点的石核 (Cores 07. LC. C:1)

2.2 完整石片

共 14 件。石片均较小 ,形状多不规则。均系锤击法剥片。

石片台面有线状台面、点状台面、有疤台面和素台面^[2]。其中以线状台面居多 ,占石片总数的 35.7% ,点状台面和有疤台面次之 ,各占 28.6% ,个别素台面 ,占 7.1% (图 5:2、4)。

石片背面形态基本为全疤 ,个别疤砾结合。腹面平坦或略弧。打击点均较清楚 ,半锥体略凸 ,个别有锥疤。

2.3 断片

共 29 件。原料除一件为板岩外 ,其余均为黑曜岩。都是横向断片 ,据部位不同又可分为近端、中段、远端断片。

近端 共 13 件 ,占石制品总数的 11.22%。仅一件为中型 ,其余为小型和微型。其中线状台面 8 件 ,点状台面 3 件 ,刃状台面 2 件。断面形状呈钝角三角形者居多。

中段 共 6 件 ,占石制品总数的 5.16%。原料均为黑曜岩体积均较小 ,断面形状多不规则 ,背面疤较少。

远端 共 10 件 ,占石制品总数的 8.62%。原料除一件是板岩外 ,都是黑曜岩 ,形状区别较大。体积较小 ,断面形态各异 (图 5:3、6)。

2.4 细石叶

共 8 件。全部残断。根据断裂部位可分为近端、中段和远端细石叶

近端 共 3 件, 占石制品总数的 2.58%。其中点状台面 1 件, 线状台面 1 件, 有脊台面 1 件。台面后缘均有细碎微疤, 背面有 1—3 条纵脊, 断面齐整。

中段 共 3 件, 占石制品总数的 2.58%。整体薄锐, 背面有 1—2 条平行纵脊, 腹面平坦, 断面形状呈窄条状, 断口齐整(图 5:5、7、8)。

远端 共 2 件, 占石制品总数的 1.72%。整体形状不规则, 远端收缩。背面有 1—2 条不平行的纵脊, 断面形状呈钝角三角形或线状。

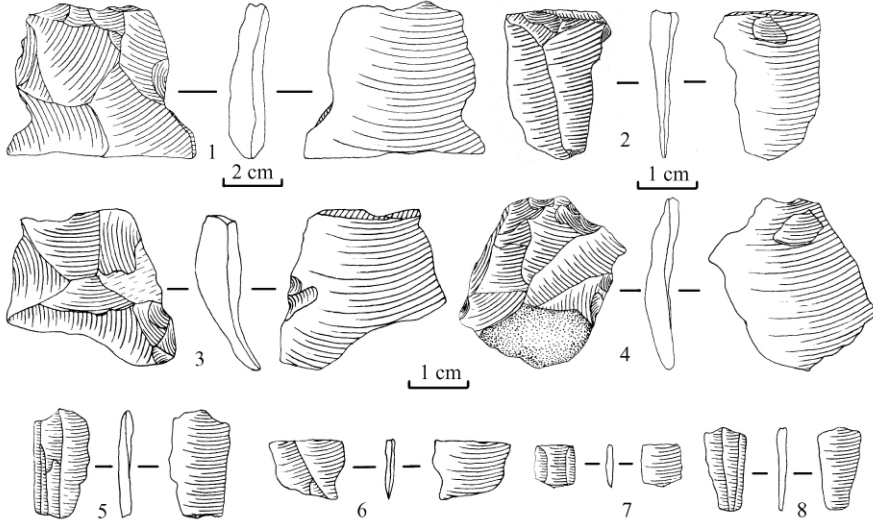


图 5 石人沟林场地点的完整石片、细石叶和断片

Fig. 5 Complete flakes, microblades and broken flakes in the Linchang locality

1、3、6. 断片 (Broken flakes 07. LC:41;07. LC. C:16;07. LC:22); 2、4. 完整石片 (Complete flakes, 07. LC:28;07. LC:66); 5、7、8. 细石叶 (Microblades 07. LC. C:30;07. LC:6;07. LC. C:70)

2.5 第 2 类工具(使用石片)

共 5 件。属小型或微型。根据工具刃缘的多少, 可分为单刃型、双刃型两种。主要以完整石片直接使用者居多, 部分是断片直接使用, 刃锋处均有不同程度的崩落细小疤痕, 为使用时磨损碰撞所致。

单刃型 共 3 件。形态各异, 刃缘均具明显使用痕迹, 疤痕大小不一, 少有多层重叠, 均较浅平且不连续。

07. LC:63, 系断片远端直接使用, 长 22.13mm, 宽 18.53mm, 厚 5.97mm, 重 1.98g, 刃缘长 19.82mm, 刃角 28°。断面断面的截面呈钝角三角形, 左侧较厚钝, 右侧刃缘薄锐, 使用痕迹清晰, 在背面和腹面刃缘均有表现, 疤痕较小且浅平, 整体形态类似于琢背小刀, 背面有一条纵脊, 一条斜脊, 腹面微内弧, 可见清晰的同心波, 放射线不明显(图 6:3)。

双刃型 共 2 件。07. LC. C:25 为直凸刃, 系断片远端直接使用, 残长 44.98mm, 宽 29.27mm, 厚 6.51mm, 重 7.30g, 刃缘长分别为 41.2、43.25mm, 凸刃刃缘较弯曲, 布满碎小细疤, 背面和腹面疤痕均较浅, 大小不等, 且不连续, 没有多层疤痕现象, 有两条纵脊, 腹面略

内弧,同心波放射线清晰(图6:1)。

07.LC:2为凸凸刃,系石片近端断片直接使用,台面为点状台面,半锥体凸,腹面较平坦,同心波和放射线较清楚,背面疤痕较浅,有一条纵脊,两侧刃缘较薄锐,刃缘使用处疤痕明显,一侧较连续一侧不连续,疤痕均浅平细碎。残长27.62mm,宽17.68mm,厚4.10mm,重1.91g,刃缘长分别为27.2、26.3mm,刃角为 19.5° (图6:2)。

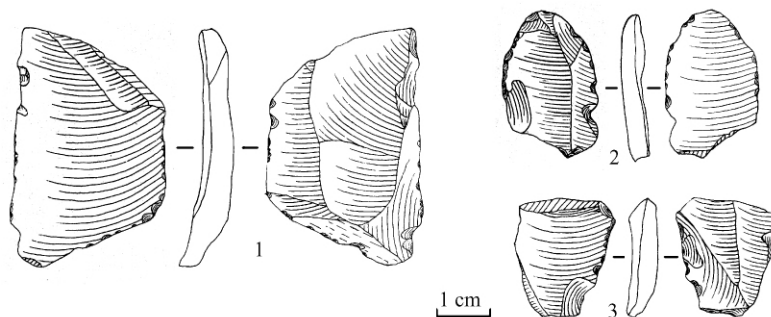


图6 第2类工具(Used flakes)

1. 直凸刃刮削器(Straight-convex scraper, 07.LC.C:25); 2. 凸凸刃刮削器(Double-convex scraper, 07.LC:2); 3. 单直刃刮削器(Single straight scraper, 07.LC:63)

2.6 第3类工具

8件。可分为刮削器、尖状器、端刮器、雕刻器、残器5类。

2.6.1 刮削器

共3件,占石制品总数的2.58%。主要为小型和微型。加工方式主要是正向加工,个别反向加工,修理方法主要是锤击修理。根据刃口数量可分为单刃和复刃两型。

单刃型 仅1件。07.LC:23,为单直刃。截面为三角形,一侧薄锐一侧厚钝,厚钝处有修型,毛坯为石片,背面有节理面,加工方式为正向,系锤击修理,疤痕大小深浅不一,具有双层修疤,修理连续。背面亦有修理或使用崩落的碎小疤痕。长25.16mm,宽17.25mm,厚9.27mm,重3.82g,刃缘长20.53mm,刃角 53° (图7:2)。

复刃型 共2件。07.LC.C:29,以石片为坯料,形制比较精致,正向加工,锤击修理,三个刃缘,一边为修理的凹刃,系硬锤锤击修理,疤痕深浅大小不一,两层修疤。另两边为直接使用的直刃,边缘具有细碎不很连续的使用疤痕。腹面较平坦,同心波和放射线清晰。背面布满石片疤,靠近左侧边缘有一斜纵脊,形成左侧钝厚,右侧薄锐的形态。长43.31mm,宽32.18mm,厚9.65mm,重11.66g,刃缘长42.2mm \times 29.1mm \times 18.3mm,刃角分别为 37° 、 26° 和 43° (图7:4)。

07.LC.C:7,石片毛坯。形制不规则。长33.02mm,宽28.10mm,厚8.35mm,重6.29g,刃缘长30.1mm \times 26.5mm \times 24.2mm,刃角分别为 32° 、 24° 和 37° 。加工方式为正向,修理方法为锤击法,三个刃缘,端刃为修理刃缘,修疤大而且深,连续修理。两侧刃缘为直接使用刃缘,使用疤痕清楚,小而且浅平,不连续。腹面稍内弧,同心波和放射线清晰可见,背面全疤,大小不等,呈现中间厚边缘薄的形态(图7:5)。

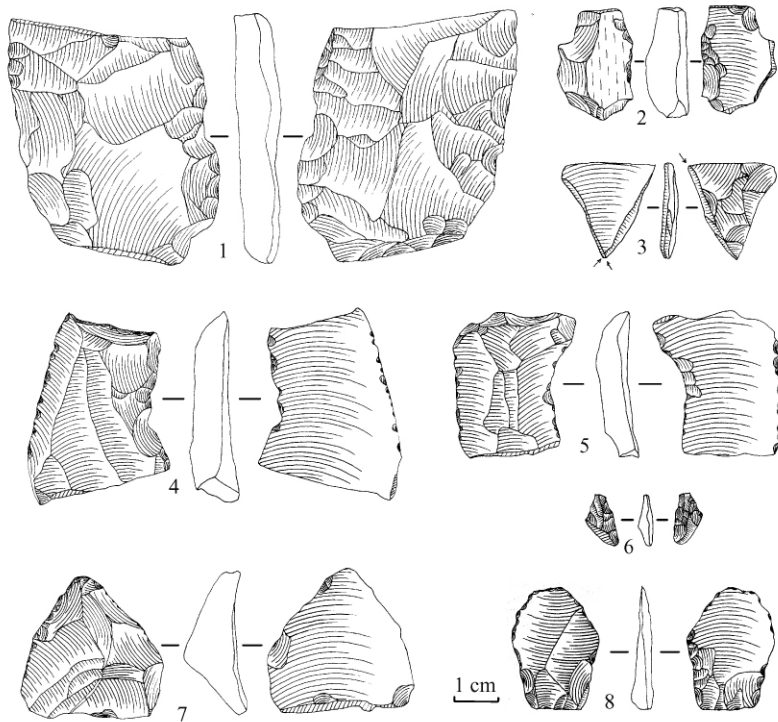


图7 第3类工具(Retouched tools)

1、6 残器(Fragmentary tools 07. LC:17;07. LC. C:18);2、4、5 刮削器(Scraper 07. LC:23;07. LC. C:29;07. LC. C:7);
3 雕刻器(Burin 07. LC:40);7 尖状器(Point, 07. LC. C:21);8 端刮器(End scraper 07. LC:65)

2.6.2 端刮器

仅1件,占石制品总数的0.86%。07. LC:65,形状略呈拇指形,长27.56mm,宽19.69mm,厚4.53mm,重1.95g,刃缘长32.3mm,刃角 12.5° 。标本系石片远端加工而成,整体较薄锐,端刃缘未作修理直接使用,刃缘具有崩落的碎小疤痕,底端作修型加工和修理,加工方式为正向,锤击修理(图7:8)。

2.6.3 尖刃器

1件,编号07. LC. C:21,近杏仁形,石片毛坯,背面呈龟背状突起,腹面略内弧,长32.63mm,宽32.28mm,厚13.64mm,重10.41g,尖角 68° 。器刃经过简单的锤击修理,底端也有修型修理,加工方式为正向,边缘有明显使用痕迹(图7:7)。

2.6.4 雕刻器

仅1件,占石制品总数的0.86%,07. LC:40,形状略呈等腰三角形,长21.97mm,宽20.00mm,厚3.51mm,重1.43g。毛坯为石片,较薄,背面布满浅平的疤痕,腹面微弧,同心波和放射线清晰。其中,在石片近端分别向两侧边打片,形成屋脊形雕刻器刃角,另外,利用石片远端断面的一角向石片近端方向打片,形成角雕刻器刃(图7:3)。

2.6.5 残器

共2件,是指不能明确界定器类,但具有第3类工具特征的残断工具者。

07. LC:17,上部残断,根据其器型走向,推测可能为矛形器或刮削器,毛坯为石片,通体

加工,锤击修理和压制修理并用,多层修疤,边缘修理更为细致,修疤大小不等,且比较浅平。残长 56.70mm,宽 47.12mm,厚 8.81mm,重 28.80g(图 7:1)。

07.LC.C:18,尖部和底端都稍有残断。残长 11.59mm,宽 7.36mm,厚 3.47mm,重 0.19g。整体形状呈三角形,通体加工,压制修理,加工比较精致规整,从整体器型、断裂走向及修理精细程度来判断,可能与镞有关,但也不排除可能为尖状器的尖部(图 7:6)。

3 结语

3.1 石器工业的主要特征

1)原料以黑曜岩占绝对优势,占总数的 97.42%,板岩和凝灰岩较少。

2)石制品类型多样,包括石核、石片、细石叶、断片、断块、废片以及工具。工具数量较少,仅占石制品总数的 11.19%;而断片、断块和废片占较大比重,为 68.96%。

3)石制品以小型和微型为主,个别中型,未见大型。

4)剥片技术主要是锤击法,也存在间接法。

5)细石叶占石制品总数的 6.91%,均被截断,近端、中段和远端均有发现,同时,细石叶还与细石核共存于地层中。

6)工具以石片毛坯占绝大多数,占 98.62%,块状毛坯较少。

7)工具修理主要为硬锤锤击修理,压制、软锤修理较少;修理方式以正向加工为主,反向加工次之。

3.2 对比与讨论

从石制品的特征、组合分析,该地点的石制品具备较多旧石器时代晚期细石器工业类型传统的特征^[4],具体表现在:首先,器物组合有刮削器、尖状器、雕刻器、端刮器等器型,还有少量细石叶和细石核;其次,工具整体小而精致,发现的细石叶全部被截断,断口较齐整,是人类行为所致,有考古材料表明此种有意截断的细石叶多作为复合工具的镶嵌刃缘;工具修理和剥片多采用锤击法,还有压制法和间接法。

从黑曜岩占绝对优势的细石叶工业遗存来看,古人类对黑曜岩这种优质原料的认识和利用已相当成熟,对石核及工具的预先设计、加工步骤等理念也逐步形成传统,该地点与延边琿春北山^[5]、和龙青头^[6]以及和龙石人沟遗址^[7]在文化内涵上有更多相似,尤其与石人沟遗址更具亲缘关系,二者相同之处主要表现在:地域环境的邻近与相似,分别位于红旗河的两岸,相距不足 10km;石制品原料基本均为黑曜岩;石制品特征组合以及加工技术等方面颇为一致,如工具类型相似,主要为石片毛坯,修理主要是锤击法和压制法,剥片技术有锤击剥片和间接剥片。总体看来,在文化面貌上趋同,应属同一工业传统。

另外,从林地地点的位置和石制品出土情况看,该地点距红旗河水面太近,直线距离不及 20m,旧石器文化层下叠压有砾石层和粗砂层,说明当时人类活动于尚未下切的河漫滩上,便于取水和狩猎,同时汛期涨水及野兽饮水的威胁均不适合人类长期活动和居住。石制品数量少而分散,工具更少,加工修理产生的副产品较多,但并未形成专门的石器加工场;而从埋藏情况和环境来看,也不具备作为长期居址的条件。因此,该地点的性质更接近于古人类临时活动场所。

3.3 年代分析

根据发掘的地层情况来看,石制品主要出自浅黄色和褐黄色的砂质黏土层。从出土层位来看,其原生层位应为浅黄色和褐黄色砂质黏土层。根据吉林省第四纪地层的堆积年代分析,其原生层位属于上更新统^[1]。同时根据石制品的工具组合、加工技术以及与周边遗址及地点的对比分析,可以推测该地点年代为旧石器时代晚期。

致谢:在野外调查和发掘期间,吉林省文物考古研究所、和龙市博物馆等各级领导对调查发掘工作给予了大力支持。参加调查发掘的人员除笔者外,还有陈胜前、刘爽、李有骞、李霞、于丹、刘晓庆、刘扬。作者在此一并致谢。

参考文献:

- [1] 吉林省区域地层表编写组. 东北地区区域地层表[M]. 吉林省分册. 北京:地质出版社,1982,124-126.
- [2] 李炎贤. 关于石片台面的分类[J]. 人类学学报,1984,3(3):253-258.
- [3] 卫奇. 《西侯度》石制品之浅见[J]. 人类学学报,2000,19(2):85-96.
- [4] 贾兰坡. 中国细石器的特征和它的传统、起源与分布[J]. 古脊椎动物与古人类,1979,16(2):137-143.
- [5] 陈全家,张乐. 吉林延边琿春北山发现的旧石器[J]. 人类学学报,2004,23(2):138-145.
- [6] 陈全家,赵海龙,方启,等. 吉林和龙青头旧石器遗址的新发现及初步研究[J]. 考古与文物,2008,(2):3-9.
- [7] 陈全家,王春雪,方启,等. 延边地区和龙石人沟发现的旧石器[J]. 人类学学报,2006,25(2):106-114.

A Report on the Excavation of the Linchang Paleolithic Site in Shirengou, Helong County

CHEN Quan-jia¹, ZHAO Hai-long², FANG Qi¹, HE Cun-ding^{1,3}

(1. Research Center of Chinese Frontier Archaeology of Jilin University, Changchun 130012;

2. Jilin Provincial Institute of Archaeology, Changchun 130033;

3. Chongqing Three Gorges Institute of Paleoanthropology, China Three Gorges Museum, Chongqing 400015)

Abstract: The Linchang Paleolithic site, buried in the second terrace of the Hongqi River, is located in the forestry center of the Shirengou village, Helong City, Jilin Province. The site excavation, which occurred in August – September 2007, exposed an area of some 69 m².

Nine stratigraphic layers of the second terrace were identified at the site, with the total thickness of about 2 meters. Stone artifacts ($n = 116$) were unearthed, 86 from layers 3 and 4, and 30 from the surface.

The stone artifacts include cores ($n = 1$), flakes ($n = 42$), microblades ($n = 8$), used flakes ($n = 5$), chunks ($n = 20$), debris ($n = 31$) and retouched tools ($n = 8$). The general features of these stone artifacts are summarized as follows:

1) Obsidian is the major raw material used, constituting 97.42% of the assemblage; a small amount of slate and tuff constituting 1.72% and 0.86% were utilized.

2) Most stone artifacts were small in size, followed by medium – sized.

3) Most blanks for tool fabrication were flakes (98.62%) , followed by cores.

4) Modified tools appeared to be retouched by hard hammer percussion , followed by soft hammer percussion and pressure techniques. Tools were generally retouched on the dorsal surface.

5) Microblades accounted for 6.91% of the stone artifacts; all were broken.

According to the characteristics of the stone artifacts , it can be inferred that this site showed close ties with the Upper Paleolithic Microblade Industry. The authors suggest that this site is probably a temporary camp for Upper Paleolithic humans.

Key words: Linchang; Stone artifacts; Obsidian; Upper Paleolithic

消息与动态

第 15 届“垂杨介与她的邻居们”国际 第四纪学术研讨会在韩国召开

2010 年 5 月 21 日—28 日,“垂杨介与她的邻居们”第 15 届学术年会在韩国丹阳垂杨介先史博物馆隆重召开。“垂杨介及她的邻居们学术年会”是第四纪领域的国际会议,自 1996 年开办以来,每年一届,由韩国、中国、日本、俄罗斯和波兰等国轮流主办。

此次会议由韩国先史研究会主办,吸引了来自俄罗斯、以色列、波兰、中国、日本、韩国、印度、印度尼西亚等 8 个国家和地区的 50 余名代表参加,韩国先史研究会主任李隆助教授发表了热情洋溢的开幕词。会议安排了 20 余场精彩纷呈的口头报告,内容涉及古人类学、旧石器时代考古学、古脊椎动物学、古环境学、第四纪地质学、年代学等多个研究领域,其中包括以色列 A Ronen 教授的“The Evolution and History of the Mediterranean Cultural Landscape of Mount Carmel, Israel”、波兰 L Domanska 教授的“Mesolithic Hunting Rituals—A case from Northern Poland”、韩国裴基同教授的“Handaxe Component in the Korean Peninsula”及印度 A Datta 教授的“Indian Rock Art Paintings: A case study at Hazaribagh Eastern Indian”等。中国学者精彩的学术报告也得到了与会代表的好评与关注,其中,中国科学院古脊椎动物与古人类研究所的高星研究员作了“周口店科学探索的新进展”的大会主题报告,金昌柱研究员和王元博士报告了“中国南方巨猿动物群的研究进展”,吉林大学的陈全家教授报告了“延边地区旧石器时代遗址的新发现与研究”。

会后组织参观了丹阳垂杨介旧石器遗址、Gunang 洞穴遗址、蔚山盘龟台岩画、庆州大苑陵及韩国各知名博物馆,使学术交流活动在实地考察中延续和深化。

第 16 届“垂杨介与她的邻居们”国际第四纪学术研讨会将由中国吉林大学承办,与会代表相约 2011 年 8 月聚首于中国长春。(王元)